

ИОНИЗАЦИОННЫЕ ХАРАКТЕРИСТИКИ ПОЛИЭТИЛЕНОВОЙ
ИЗОЛЯЦИИ СИЛОВЫХ КАБЕЛЕЙ С СЕКТОРНЫМИ
ЖИЛАМИ*

М. Н. ТРЕСКИНА

(Представлена научным семинаром кафедры электроизоляционной и кабельной техники)

В настоящее время в качестве изоляции силовых кабелей широкое применение находит полиэтилен. Электрическая прочность листового полиэтилена составляет 600—800 кв/мм, в то время, как максимальная пробивная напряженность полиэтиленовой изоляции кабелей равна 20—90 кв/мм. Одним из факторов, приводящих к такому значительному снижению электрической прочности полиэтилена, наложенного в качестве изоляции на червячных прессах, является наличие в слое изоляции газовых включений.

Полиэтилену присущ высокий коэффициент теплового расширения, в 9 и 13 раз превышающий коэффициенты теплового расширения алюминия и меди соответственно. Охлаждение наложенной на червячном прессе полиэтиленовой изоляции происходит с наружной поверхности слоя. Граница затвердевания перемещается от внешней поверхности изоляции к внутренним слоям, где при охлаждении вследствие усадки образуются поры. Причем, основное количество включений расположено на границе токопроводящая жила — изоляция. Размеры газовых пор различны и могут составлять от 10^{-3} мм до 1 мм. Спустя некоторое время после опрессования давление в порах выравнивается с атмосферным [1].

При работе кабеля возникающие в газовых включениях напряженности электрического поля могут быть достаточными для ионизации газа во включениях. При этом на поверхности полиэтилена возникают необратимые изменения — разрушение полимера, сопровождающееся образованием газообразных и твердых веществ. Твердые вещества содержат повышенное количество углерода и поверхность газовой поры становится электропроводящей. Дальнейшее развитие ионизации может привести к «закорачиванию» некоторых пор, появлению глубоких раковин, в результате чего снижается электрическая прочность изоляции кабеля [2].

Поэтому в связи с малой короностойкостью и значительной пористостью полиэтиленовой изоляции для оценки надежности кабелей необходимо знание их ионизационных характеристик.

Трехжильные кабели с полиэтиленовой изоляцией на напряжение 1—6 кв выполняются с секторными жилами без наличия экрана по жиле. В последние годы наметился переход от многопроволочных (М) к од-

*) В работе принимали участие студенты ТПИ Омельченко Д. С., Шандра З. А.

ннопроволочным (O) секторным жилам, что позволяет сократить в 4—5 раз потребность в оборудовании, в 9 раз в производственных площадях и в 10 раз повысить производительность труда при производстве кабелей [3].

Целью данной работы явилось исследование и сравнение ионизационных характеристик полиэтиленовой изоляции многопроволочных и однопроволочных неэкранированных секторных жил.

Для практически применяемых конструкций кабелей с полиэтиленовой изоляцией на напряжение 6, 10 и 35 кв в работе проведены расчеты по определению размеров минимальных газовых включений, в которых при приложении к изоляции линейного напряжения наступит ионизация (рис. 1). В работе приняты плоские поры, как наиболее опасные

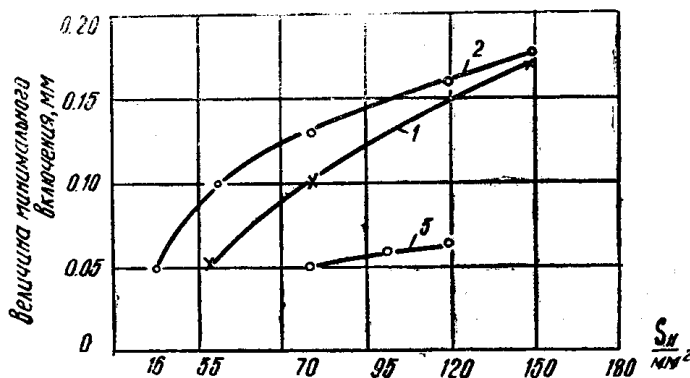


Рис. 1. Зависимость величины минимального включения от сечения токопроводящих жил для кабелей с полиэтиленовой изоляцией напряжением: 1—6 кв, кабель с секторными жилами, 2—10 кв и 3—35 кв кабели с круглыми жилами

из возможных форм пор. Слой полиэтиленовой изоляции, содержащий газовое включение, можно рассмотреть как неоднородный двухслойный диэлектрик, если пора находится у жилы или у оболочки, и трехслойный диэлектрик, если пора находится в толще изоляции.

В радиальном электрическом поле напряженность в газовом включении толщиной Δ , расположенному по радиусу r , определена по формуле

$$E_r = \frac{U}{r \epsilon_r \left[\frac{1}{\epsilon_n} \ln \frac{r}{r_1} + \frac{1}{\epsilon_r} \ln \frac{r + \Delta}{r} + \frac{1}{\epsilon_n} \ln \frac{r_2}{r + \Delta} \right]} \frac{\text{кв}}{\text{мм}},$$

где r_1 и r_2 — радиусы по жиле и изоляции,

ϵ_r и ϵ_n — диэлектрические проницаемости газа и полиэтилена.

Сравнение возникающих в порах E_r при различных Δ с пробивной прочностью воздуха позволяет определить величину минимального включения [4]. Учитывая, что максимальные напряженности поля в изоляции возникают на поверхности жилы, где наибольшая вероятность образования газовых включений, необходимо дать анализ опасных пор, расположенных у токопроводящей жилы. Как видно из рис. 1, для кабелей с наименьшими допустимыми сечениями жил опасными с точки зрения возникновения в них ионизации являются поры толщиной 0,05 мм и выше. С увеличением сечения жил размер Δ_{\min} возрастает. За счет секторных жил поры в изоляции кабеля на напряжение 6 кв являются более опасными, чем в кабеле на 10 кв.

Для исследования ионизационных характеристик использованы изолированные полиэтиленом толщиной 2 мм алюминиевые жилы сечением 70 мм^2 , выполненные на заводе «Камкабель». Из изолированных многопроволочной и однопроволочной жил нарезано по 20 образцов. На образцы длиной 1,8 м наносился в качестве электрода слой полупроводящей резины одинакового сопротивления.

Для устранения краевых эффектов на краях электродов делалась подмотка из невулканизированной изоляционной резины в виде муфты.

Для сравнения однородности полиэтиленовой изоляции образцов проведено измерение $\operatorname{tg}\delta$. Как видно из рис. 2, в данной партии образцов имеет место значительный разброс $\operatorname{tg}\delta$. Для исследования выбраны образцы с небольшим разбросом значений $\operatorname{tg}\delta$ ($2 \cdot 10^{-3} \div 6 \cdot 10^{-3}$).

Измерения $\operatorname{tg}\delta = f(U, t^\circ\text{C})$ проведены на мосте Р—525. Напряжение начала ионизации U_u и интенсивность ионизации J_u определены по мостовой схеме с помощью дифференциального метода [5]. Погрешность при определении напряжения начала ионизации составляла в среднем 10%.

Рис. 2. Интегральная кривая распределения значений $\operatorname{tg}\delta$ полиэтиленовой изоляции многопроволочных (M) и однопроволочных (o) секторных жил

Интенсивность ионизации J_u выражена в относительных единицах.

Для исследования температурной зависимости ионизационных характеристик, учитывая незначительную толщину изоляции, образцы, изогнутые в кольца диаметром 40 см , помещались в термостат. Ионизационные характеристики образцов до и после изгиба не изменялись. Выдержка образцов при заданной температуре перед измерением составляла 0,5 часа. На рис. 3 приведены зависимости $\operatorname{tg}\delta$, E_u и J_u от температуры. Для всей партии образцов напряженность начала ионизации E_u при 20°С многопроволочных жил на 30—60% ниже E_u однопроволочных жил. Расчеты (табл. 1) показали, что при возникновении на изоляции 6-киловольтного кабеля линейного напряжения (аварийный

Таблица 1

Расчетные значения максимальных напряженностей поля в изоляции (E_{\max}) в поре (E_r), размера опасной поры (Δ_{\min}) в изоляции кабеля на напряжение 6 кв при сечении секторной жилы 70 мм^2

Параметры	$U_{\text{рас}} = U_\phi \cdot 1,15$	$U_{\text{рас}} = U_u$
$E_{\max}, \text{ кв/мм}$	1,98	2,97
$E_r = 2,3E_{\max}, \text{ кв/мм}$	4,56	6,85
$\Delta_{\min}, \text{ мм}$	0,32	0,10

режим) будут ионизированы все поры толщиной 0,1 мм и выше. Для этих кабелей такие размеры пор не могут быть допущены.

Согласно полученным данным напряженность начала ионизации в изоляции многопроволочных жил составляет $1,5-2,4 \text{ кв/мм}$, что соответствует размерам ионизируемых пор $0,14-0,09 \text{ мм}$ по [2], а для однопроволочных жил $E_u = 3,5-4,5 \text{ кв/мм}$, что соответствует размерам пор $0,06-0,045 \text{ мм}$. Следовательно, проволочность поверхности жилы приводит к появлению более крупных пор в полиэтиленовой изоляции жил М по сравнению с О. Большая интенсивность ионизации в изоляции жил М по сравнению с О, возможно, определяется большим количеством пор по сравнению с жилами О.

С повышением температуры замечено уменьшение E_u и увеличение J_u (рис. 3). В работах [4, 6] показано возрастание напряжения начала ионизации при нагреве полиэтиленовой изоляции кабелей, имеющих по жилам экраны, что объясняется уменьшением величины газовых включений, увеличением давления в них при температурном расширении полиэтилена. Уменьшение E_u при нагреве изолированных секторных жил без экрана по жиле можно объяснить более значительным тепловым расширением полиэтилена по сравнению с алюминием и увеличением размеров и количества пор на границе жила—изоляция. С этим согласуется увеличение интенсивности ионизации с повышением температуры, более значительное для жил М (рис. 3).

Для исследования влияния длительного воздействия электрического поля на ионизационные характеристики изолированные М и О жилы были подвергнуты ионизационному старению. Образцы в течение 500 часов находились под напряжением промышленной частоты, на 15% превышающим напряжение начала ионизации. По истечении определенного времени производились измерения $\operatorname{tg} \delta = f(U)$, U_u , J_u (рис. 4).

С увеличением длительности ионизационного старения происходит возрастание $\operatorname{tg} \delta$ изоляции, более значительное для М. Ионизация газовых включений в полиэтилене может вызвать окислительные процессы, деструкцию цепей полиэтилена, образование карбонильных групп и радикалов. Указанные процессы явились причиной увеличения емкости образцов в процессе ионизационного старения: емкость жил М увеличилась на 10—16%, жил О — на 5—8%. Следовательно, в процессе ионизационного старения происходит увеличение диэлектриче-

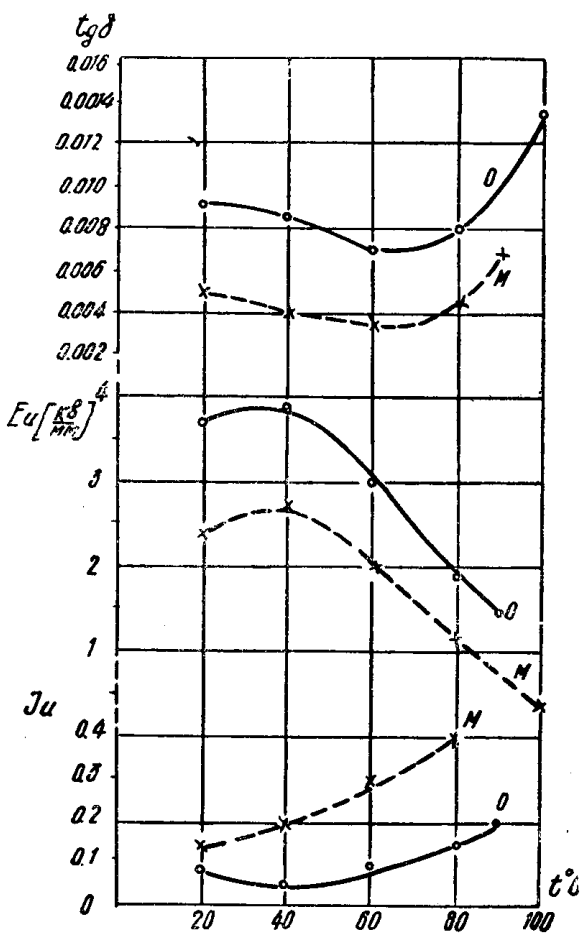


Рис. 3. Температурная зависимость $\operatorname{tg} \delta$, E_u , J_u полиэтиленовой изоляции многопроволочных (М) и однопроволочных (О) секторных жил

ской проницаемости и $\operatorname{tg} \delta$ полимерной изоляции, более значительное для жил М по сравнению с жилами О.

В течение 125 часов ионизационного старения замечено увеличение E_u и уменьшение J_u (рис. 4), что возможно связано с увеличением давления в порах в начальной стадии ионизации. Наблюдается некоторое ухудшение ионизационных характеристик жил О в течение 60 часов старения. Для жил О характерны высокие значения E_u , малые размеры пор, а, следовательно, значительные интенсивности ионизации в этих порах [2]. Последнее, возможно, является причиной быстрого «закорачивания» мелких пор. Поэтому уменьшение E_u и увеличение J_u жил О в первые 60 часов старения можно объяснить «закорачиванием» мелких пор.

При длительной ионизации происходит разрушение полимера (эррозия), увеличиваются размеры пор. С другой стороны «закорачивание» некоторых пор приводит к местному увеличению напряженности поля, что облегчает мониторинг других пор. С этими причинами, возможно, связаны уменьшение E_u и увеличение J_u при длительном ионизационном старении полимерной изоляции (рис. 4).

Исследованные изолированные жилы явились моделью жил кабеля напряжением 6 кВ. Учитывая наложение изоляции толщиной 3,5 мм, можно предполагать, что при равнозначных условиях ионизационное старение в кабеле будет протекать более интенсивно.

Рис. 4. Зависимость $\operatorname{tg} \delta$, E_u , J_u полимерной изоляции многопроволочных (М) и однопроволочных (О) секторных жил от времени ионизационного старения

ля напряжением 6 кВ. Учитывая наложение изоляции толщиной 3,5 мм, можно предполагать, что при равнозначных условиях ионизационное старение в кабеле будет протекать более интенсивно.

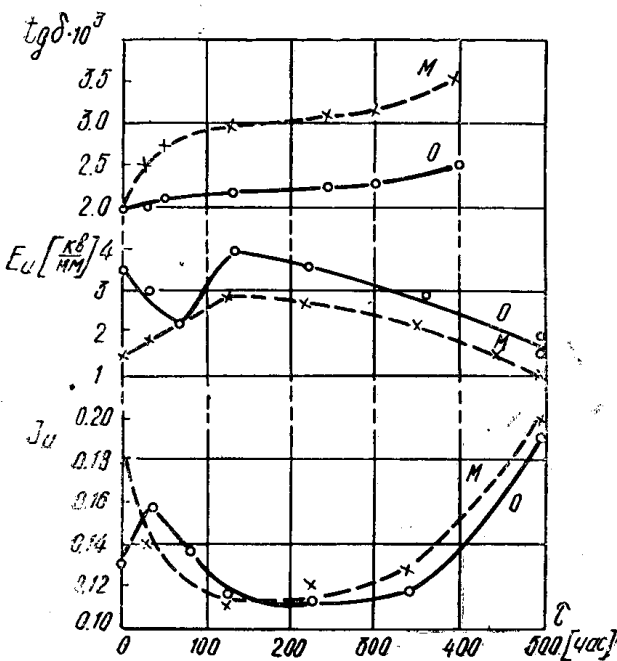
Для оценки изменения электрической прочности полимерной изоляции в процессе ионизационного старения исследование проведено на плоских образцах полимера толщиной 0,6 мм высокого давления, одинаковой марки с изоляцией жил. Поверхность образца подвергалась ионизации, происходящей в искусственной поре при напряжении, на 15% превышающем напряжение начала ионизации. Пробой образцов проводился при напряжении промышленной частоты при электродах плоскость — плоскость в трансформаторном масле.

Полученные средние значения пробивной прочности полимера приведены в табл. 2.

В процессе ионизационного старения происходит уменьшение электрической прочности полимера: в течение 200 часов, снижение $E_{\text{пр}}$ составило 25%.

На основании полученных результатов можно сделать следующие выводы:

- С уменьшением сечения токопроводящих жил уменьшается величина минимальной поры, при которой возможна ионизация. Для на-



дежной (с точки зрения отсутствия ионизации в газовых порах) работы изоляции кабелей напряжением 1,6 и 35 кв размеры пор, расположенных на границе жила — изоляция, не должны превышать определенных значений. Вследствие малых радиусов закруглений секторных жил и отсутствия экранов по жилам опасность возникновения ионизации в изоляции кабелей напряжением 6 кв большая, чем в изоляции кабеля на 6 кв меньше, чем в кабеле на 10 кв.

Таблица 2

Изменение электрической прочности полиэтилена ВД
со временем ионизационного старения

Продолжительность старения, час	0	50	100	150	200
Электр. прочность					
$E_{\text{пр}}$ (среднее из 10 точек), кв/мм	45	44	42	39	34

2. $\text{tg}\delta$ полиэтиленовой изоляции кабеля одной длины не является постоянной величиной, колебания значений $\text{tg}\delta$ доходят до одного порядка.

3. Напряженность начала ионизации в изоляции однопроволочных жил на 30—60% выше E_u многопроволочных жил, а интенсивность ионизации меньше, чем J_u в изоляции жил М.

4. С повышением температуры от 20°C до 80°C происходит уменьшение на 60% напряженности начала ионизации и на 50—170% увеличение интенсивности ионизации в полиэтиленовой изоляции секторных жил без экрана по жиле. Причем, больший процент увеличения J_u относится к изоляции многопроволочных жил.

5. При длительном ионизационном старении увеличивается $\text{tg}\delta$ полиэтиленовой изоляции. Увеличение $\text{tg}\delta$ изоляции жил М в 3 раза больше, чем жил О.

6. В процессе ионизационного старения в течение первого периода увеличивается напряженность начала ионизации, уменьшается интенсивность ионизации. При длительном ионизационном старении наблюдается уменьшение E_u и увеличение J_u . В процессе ионизационного старения происходит уменьшение электрической прочности полиэтиленовой изоляции.

ЛИТЕРАТУРА

1. А. Г. Мирзоев. Некоторые вопросы технологии изготовления силовых кабелей с полиэтиленовой изоляцией. «Применение пластмасс в кабельной промышленности», ВНИИ ЭМ, 1964.
2. А. Н. Перфилетов. Ионизация воздушных включений в полиэтиленовой изоляции высоковольтных кабелей. Вестник электропромышленности, 12, 1961.
3. С. А. Пархомович. Некоторые вопросы экономии кабельного производства. Вестник электропромышленности, 6, 1962.
4. Р. В. Кулакова. Силовые кабели с пластмассовой изоляцией. ГЭИ, 1963.
5. Ф. Х. Крейгер. Обнаружение внутренних разрядов, в частности, в высоковольтных кабелях. Кабельные линии высокого напряжения. Сб. переводов, вып. 2, ГЭИ, 1959.
6. Разработка силового кабеля на напряжение 10 кв с полиэтиленовой изоляцией. Отчет НИИКП, № 635—57.